

# تنش‌های باقی‌مانده از جوشکاری برمبنای انجاماد

## حوضچه‌ی مذاب متحرک

سید عبدالعظیم امیر‌شاه کرمی (استادیار)  
محمود حسن پور متی کلایی (دانشجوی دکترا)  
دانشکده‌ی مهندسی عمران  
دانشگاه صنعتی امیرکبیر

برای محاسبه‌ی تنش‌های باقی‌مانده از جوشکاری، تعیین تاریخچه‌ی توزیع دمای ناشی از جوشکاری ضرورت دارد. در این مقاله ضمن معرفی مدل حرارتی جدید و تشریح مفهوم حوضچه‌ی مذاب معادل، تاریخچه‌ی توزیع دمای ناشی از حرکت حوضچه‌ی مذاب معادل محاسبه شده است. در این مرحله به منظور در نظر گرفتن حرارت نهان ناشی از تغییر حالت ماده‌ی مذاب به جامد، از مفهوم انتالپی به عنوان تابعی از دما استفاده شده است. در مرحله‌ی دوم با پذیرش مدل فون‌میسز و بررسی سختی‌پذیری سینماتیکی واپسیت‌هه به دما، تنش‌های باقی‌مانده از جوشکاری محاسبه شده‌اند. در هر کدام از دو مرحله‌ی فوق، به‌دلیل تغییر خواص حرارتی و مکانیکی مصالح در برابر دما، معادلات غیرخطی مربوطه به روش اجزاء محدود حل شده‌اند. مزیت این روش، نسبت به روش‌های موجود، واقعی‌تر بودن فرایند جوشکاری، سادگی داده‌ها و کاهش زمان تحلیل و تخمین توان حرارتی جوشکاری است.

### موضعی سازه‌ها می‌شوند. همچنین اعتقاد پذیری سازه‌های

جوش شده به تنش‌های باقی‌مانده در آنها بستگی دارد. در این نوشتار، ضمن معرفی مدل حرارتی جدید و در نظر گرفتن تغییر حالت حوضچه‌ی مذاب جوش، و نیز با استفاده از مفهوم حوضچه‌ی مذاب معادل، حوزه‌ی مورد بررسی دو بعدی شده است. در نهایت، با رعایت تغییرات خواص مصالح نسبت به دما، ابتدا تاریخچه‌ی زمانی توزیع دمای حاصل از جوشکاری و سپس تنش‌های باقی‌مانده از یک جوش لب به لب<sup>۱</sup> پس از به تعادل رسیدن دمای حوزه‌ی منظور و دمای محیط اطراف، بررسی و محاسبه شده است.

در این تحقیق، دو ورق مشابه از نوع فولاد St-۳۷ با ابعاد  $75 \times 60 \times 10$  میلی‌متر، مطابق شکل ۱، در لبه  $60$  میلی‌متری از طریق جوش لب به لب به هم متصل شده‌اند. نتایج حاصل از تجزیه‌ی انتقال حرارت یک نقطه از حوزه با اندازه‌گیری‌های انجام شده توسط ترموکوپل بر نمونه‌ی از کارخانه‌ی شرکت مهندسی و ماشین‌سازی ایران مطابقت دارد.

**معادلات حاکم بر انتقال حرارت**  
طبق قانون اول ترمودینامیک، معادله‌ی تعادل گرمایی در یک حوزه‌ی پیوسته دیفرانسیلی به صورت زیر است:

$$\rho C^T + q_{i,i} = \dot{Q} \quad (1)$$

مقدمه از بین انواع اتصالاتی که در صنعت مورد استفاده قرار می‌گیرند، «جوش» از رونق و رواجی روزافزون برخوردار است و این به‌دلیل سادگی، سرعت عمل و عدم کاربرد وسایل اتصال جانبی است. عمل جوشکاری شامل یک حرارت دهنی موضعی کوتاه‌مدت در یک محیط فلزی، همراه با افزودن ماده‌ی مذاب فلز الکترود به محل اتصال دو قطعه است. در اثر این عمل شبیب دمای فوق العاده‌ی در اطراف منطقه‌ی جوش به وجود می‌آید که منجر به تولید کرنش حرارتی و در نتیجه تنش‌های حرارتی می‌شود. از آنجاکه تنش تسلیم مصالح محیط فلزی با افزایش دما کاهش می‌یابد و از سوی دیگر کرنش حرارتی با افزایاد دما افزایش می‌یابد، تنش‌های حرارتی تولید شده از مرز تسلیم عبور می‌کنند و مصالح محیط در اطراف منطقه‌ی جوش رفتار خمیری-کشسانی<sup>۲</sup> بروز می‌دهند. به‌همین سبب پس از عمل جوشکاری و متعادل شدن دما با محیط اطراف، تنش‌ها و تغییر شکل‌های باقی‌مانده می‌نامند. همچنین، در دمای بالا ریزساختار مصالح نیز تغییر می‌کند که البته این تغییر به صورت تغییر خواص حرارتی و مکانیکی مصالح نسبت به دما ظاهر می‌شود. تعیین تنش‌های باقی‌مانده از جوشکاری یکی از موضوعات روز مراکز تحقیقاتی و پژوهشی دنیاست و بدینه است که این تنش‌ها سبب افزایش آهنگ انتشار ترک ناشی از خستگی، خوردگی و کمانش

جابه‌جایی و تابشی، باشد.

$$K \frac{\partial T}{\partial n} = q$$

(۴) شار حرارتی

$$-K \frac{\partial T}{\partial n} = \beta_1(T - T_{\infty}) + \beta_2(T^4 - T_{\infty}^4)$$

معادله‌ی ۴ الف به همراه معادله‌های ۴ ب و ۴ ج، مجموعاً معادلات تاریخچه‌ی زمانی توزیع دمای حوزه را تشکیل می‌دهند. برای درنظر گرفتن حرارت ناشی از تغییر حالت ماده‌ی مذاب به جامد در آیازهایی مثل فولاد که فاصله‌ی دمایی تغییر حالت دارند، انتالپی (H) به صورت زیر تعریف می‌شود. با استفاده از این انتالپی، به عنوان متغیر وابسته، معادله‌ی ۴ به معادله‌ی ۸ تبدیل می‌شود.

$$H = \int^T C(T) dT \quad (5)$$

$$\frac{\partial H}{\partial t} = \frac{\partial H}{\partial T} \cdot \frac{\partial T}{\partial t} = C^{\circ}T \quad (6)$$

C در رابطه‌ی ۶ ظرفیت گرمایی مؤثر با در نظر گرفتن گرمای نهان ذوب است که Lemmon آن را در حالت دو بعدی به دست آورده است. [۱ و ۲]

$$C = \frac{1}{\rho} [(\frac{\partial H}{\partial x})^2 + (\frac{\partial H}{\partial y})^2 / (\frac{\partial T}{\partial x})^2 + (\frac{\partial T}{\partial y})^2] \quad (7)$$

$$(\frac{K}{C} H_{,i})_{,i} + \dot{Q} = \dot{H} \quad (\text{الف})$$

$$K \frac{\partial T}{\partial n} = q \quad (\text{ب})$$

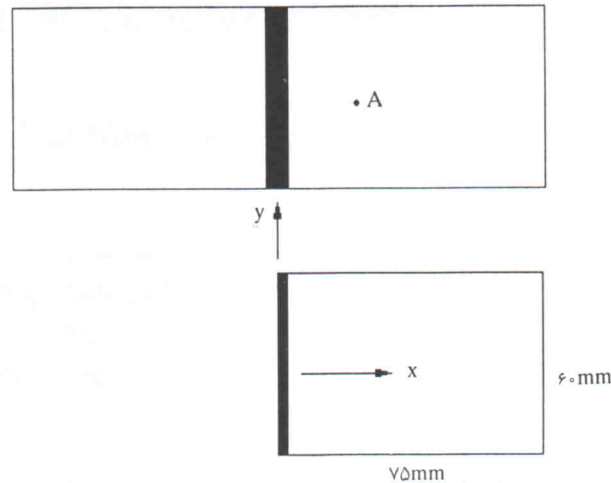
$$-\frac{K}{C} \frac{\partial H}{\partial n} = \beta_1[T(H) - T_{\infty}] + \beta_2[T^4(H) - T_{\infty}^4] \quad (\text{ج})$$

در روش اجزاء محدود، کل معادله‌ی ۸ به فرم انتگرالی معادل تبدیل می‌شود. سپس این انتگرال با استفاده از روش گالرکین تبدیل به یک معادله‌ی ماتریسی، شامل معادله‌های دیفرانسیل معمولی، و هم‌مان غیرخطی، خواهد شد. [۳]

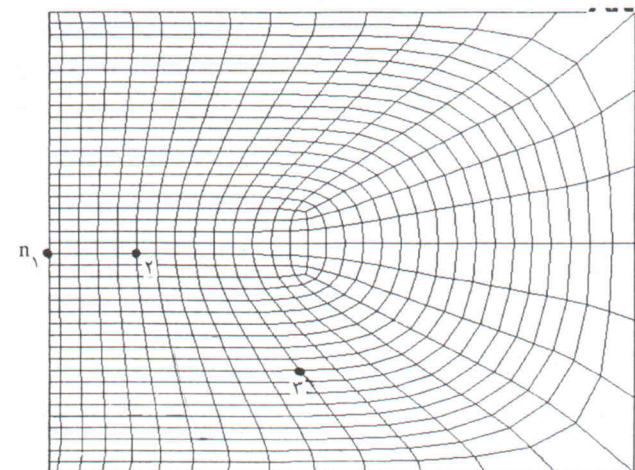
در این نوشتار از عناصر صفحه‌ی ۴ گرهی استفاده شده و توزیع عناصر مطابق شکل ۲ و به‌گونه‌یی انجام شده که در نواحی با شبکه‌ی دمای بالا، نسبت به نواحی دورتر جوش، عناصر بیشتر و با شبکه‌ی ریزتر قرار دارند. بدلیل تقارن فقط نصف حوزه در نظر گرفته شده و تعداد عناصر و گره‌ها به ترتیب برابر ۷۴۲ و ۷۸۲ است.

### مدل حرارتی و حوضچه‌ی مذاب معادل

در روش‌های موجود، حرارت ورودی ناشی از جوشکاری به حوزه‌ی فلزی را مطابق شکل ۳، به صورت شار حرارتی سطحی در



شکل ۱. ورق‌های تحت بررسی



شکل ۲. شبکه‌ی عناصر ۴ گرهی نیم حوزه

می‌دانیم که برای یک حوزه‌ی همسان ۳ (ایزوتrop) قانون دوم ترمودینامیک به صورت قانون فوريه بیان می‌شود. یعنی:

$$q_i = -KT_{,i} \quad (2)$$

با جایگزینی معادله‌ی ۲ در معادله‌ی ۱ خواهیم داشت:

$$\rho C^{\circ}T = (KT_{,i})_i + \dot{Q} \quad (3)$$

و با فرض استقلال فضایی ضریب K

$$KT_{,ii} + \dot{Q} = \rho C^{\circ}T \quad (\text{الف})$$

معادله‌ی ۴ الف معادله‌ی بنیادی تاریخچه‌ی زمانی توزیع دماس است که با معلوم بودن شرایط اولیه و شرایط مرزی می‌توان آن را حل کرد. شرایط اولیه بیانگر توزیع دما در حوزه و مرزهای آن در زمان صفر، و شرایط مرزی تعیین‌کننده‌ی وضعیت مرز حوزه از نظر تبادلات حرارتی با محیط اطراف است. تبادل حرارت ممکن است به صورت عایق حرارتی، شار حرارتی ورودی، و انتقال حرارت، اعم از

گرفته شده است. به عبارت دیگر ورق‌های جوش‌شونده، به‌غیر از بخش کوچکی در همسایگی مرز هندسه جوش، به عنوان قالب حوضچه‌ی مذاب جوش منظور شده‌اند. همچنین، در این نوشتار به‌منظور دو بعدی کردن مسئله، به‌جای مقطع حوضچه‌ی مذاب شکل ۴-الف از مقطع مستطیلی معادل آن (شکل ۴-ب) استفاده شده است. عرض مقطع مستطیلی معادل حوضچه‌ی مذاب (e) با توجه به اطلاعات شکل ۴-الف برابر  $\frac{4}{4}$  میلی‌متر است.

از سوی دیگر، چون طول حوضچه‌ی مذاب همان اندازه‌ی سرعت الکترود در جوشکاری است، بنابراین با معلوم شدن کل ماده‌ی مذاب در واحد زمان، توان حرارتی لازم برای جوشکاری را می‌توان با استفاده از فرمول تعادل گرمایی زیر محاسبه کرد:

$$\eta P = \rho A v (L + \int C dT) \quad (9)$$

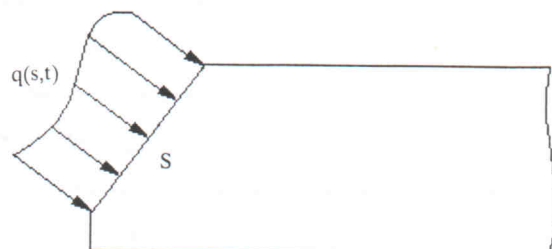
نتیجه آن که حوضچه‌ی مذاب معادل با ابعاد  $\frac{4}{4} \times 10 \times 3$  میلی‌متر مدت یک ثانیه دوام دارد و سپس به‌اندازه ۳ میلی‌متر (اندازه سرعت الکترود) جایه‌جا می‌شود. با این مدل حرارتی انتقال حرارت در ورق‌های نازک، یعنی ورق‌هایی که با یک خط جوش ۴ (مهره‌جوش)، اتصال‌شان کامل می‌شود، تبدیل به انتقال حرارت دو بعدی در ورق‌ها می‌شود. از آنجاکه در شکل ۲، به‌دلیل تقارن، فقط شبکه‌ی عناصر نیم حوزه ارائه شده است، عناصر ستون سمت چپ این شبکه به عرض  $\frac{2}{2}$  میلی‌متر، همان عناصر نیم عرض حوضچه‌ی مذاب معادل را تشکیل می‌دهند. جدول ۱ اندازه‌ی خواص حرارتی و مکانیکی فولاد را در دماهای مختلف نشان می‌دهد. تغییرات این خواص در بین این دماها به صورت خطی در نظر گرفته شده است.

### رابطه‌ی تنش-کرنش

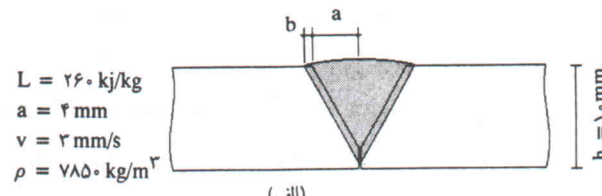
رابطه‌ی تنش-کرنش خمیری-کشسانی در یک حوزه‌ی همسان با کرنش‌های کوچک را می‌توان با استفاده از رابطه‌های زیر محاسبه کرد، مشروط بر آن که پیزوریم که تغییر شکل خمیری منجر به تغییر حجم نمی‌شود و صرفاً تغییر دما سبب تغییر حجم می‌شود.

جدول ۱. اندازه‌ی خواص حرارتی و مکانیکی فولاد در دماهای مختلف

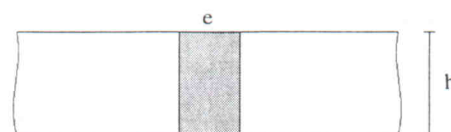
۱۶۰۰ °C	۱۴۵۰ °C	۱۱۰۰ °C	۹۰۰ °C	۸۰۰ °C	۵۰۰ °C	۲۰ °C	دما
۹۸۰۰	۷۲۰۰	۵۲۰۸	۴۰۷۰	۲۵۰۰	۲۱۵۴	۰	H: $j/cm^3$
۷۰۰	۷۰۰	۷۳۲	۷۵۱	۷۶	۶۱۴	۲۸۰	C: $j/kg°C$
۰/۴	۰/۴	۰/۳۷۳	۰/۳۵۸	۰/۳۵	۰/۴۱	۰/۵	K: $w/cm°C$
۲۱۰۰۰	۲۱۰۰۰	۲۱۰۰۰	$۲/۱ \times 10^{-5}$	$۵/۸ \times 10^{-6}$	$۱/۷ \times 10^{-6}$	$۲/۱ \times 10^{-6}$	E: $kg/cm^2$
۰/۴۷	۰/۴۶۷	۰/۴۶	۰/۳۷	۰/۳۶	۰/۳۳	۰/۳	v



شکل ۳. شار حرارتی سطحی ورودی



(الف)



(ب)

شکل ۴. مقطع حوضچه‌ی مذاب و مقطع معادل

نظر می‌گیرند. یعنی مجموع شار حرارتی ورودی و حرارت لازم برای ذوب مصالح الکترود برابر است با توان مفید قوس الکتریکی. همچنین تابع شار حرارتی،  $q(s,t)$ ، با در نظر گرفتن فرض‌هایی تشکیل می‌شود. [۸ و ۷، ۶، ۵]

می‌دانیم که در جوشکاری مطابق شکل ۴، ماده‌ی مذاب الکترود را به داخل کanal تهیه شده (هندسه جوش) می‌ریزند. همچنین، مقداری از مصالح فلزی جنب کanal در اثر حرارت قوس الکتریکی ذوب می‌شوند. تحقیق و بررسی روی جوش‌های مرغوب و استاندارد نشان می‌دهد که مقطع حوضچه‌ی مذاب جوش مطابق شکل ۴-الف تشکیل می‌شود و اندازه  $b$  نزدیک به  $25a/0$  است.

در این مقاله با در نظر گرفتن مطالعه فوق و با توجه به مشاهدات‌های جوشکاری و ریخته‌گری، موضوع انتقال حرارت در جوشکاری همانند ریخته‌گری متحرک در ورق‌های نازک در نظر

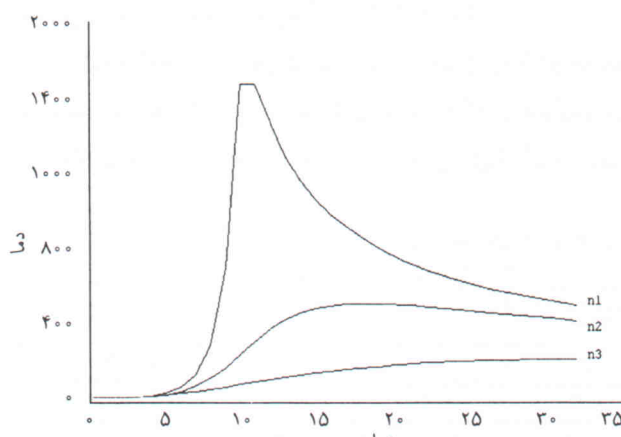
### شرایط اولیه و مرزی

فاصله‌ی دمای ذوب آلیاژ فولاد نرم بین دو دمای  $1450^{\circ}\text{C}$  تا  $1580^{\circ}\text{C}$  است و به دلیل وجود پوشش الکترود و سرعت نسبتاً بالای سردشگی از انتقال حرارت تابشی صرف نظر شده است. انتقال حرارت فقط از طریق جابه‌جایی، با ضریب انتقال  $\beta_1 = 1/2 \times 10^{-3} \text{ W/cm}^2 \text{ }^{\circ}\text{C}$  در نظر گرفته شده است. دمای اولیه حوضچه‌ی مذاب و فلز غیرمذاب به ترتیب برابر  $1580^{\circ}\text{C}$  و  $20^{\circ}\text{C}$  منظور شده است. شیوه‌ی تحلیل انتقال حرارت به این صورت است که دمای نیم‌حوزه‌ی مذاب معادل، یعنی دمای دو عنصر اول ستون چپ شکل ۲، پس از مدت یک ثانیه برابر  $1580^{\circ}\text{C}$  منظور شده است. نیم‌حوضچه‌ی مذاب معادل آنگاه به اندازه‌ی ۳ میلی‌متر جابه‌جا می‌شود و همزمان انجماد نیم‌حوضچه‌ی مذاب قبلی شروع می‌شود. به علاوه در این تحقیق در تحلیل تنش، شرایط مرزی روی محور تقارن یعنی عدم جابه‌جایی افقی گره‌های روی محور تقارن متغیر است و همراه با حرکت حوضچه‌ی مذاب افزوده می‌شود. ضریب انبساط طولی فولاد نرم  $5 \times 10^{-5/\text{K}}$  در تحلیل تنش برابر  $\alpha = 1/2 \times 10^{-5/\text{K}}$  منظور شده است.

### تابع زمانی توزیع دما

با اعمال شرایط فوق، پس از مدت ۱۰۰۰ ثانیه حوزه‌ی مورد نظر به دمای محیط بازمی‌گردد، که این مدت با واقعیت بسیار مطابقت دارد. با توجه به حرکت حوضچه‌ی مذاب، زمان فوق به ۲۱ قسمت و هر قسمت با رشد زمانی  $1/10$  ثانیه شروع شده است. این رشد زمانی بر مبنای اندازه و خواص عنصر تخمین زده شد.<sup>[۹]</sup>

شکل ۵ تغییرات دمای نقاط  $n_1, n_2, n_3$  را در مدت  $32/5$  ثانیه نشان می‌دهد. همانطور که مشاهده می‌شود، پس از  $10$  ثانیه الکترود به گره  $n_1$  می‌رسد و مدت یک ثانیه این گره در ذوب کامل قرار



شکل ۵. تغییرات دمای نقاط  $n_1, n_2, n_3$  نسبت به زمان

جدول ۲. تنش تسلیم و مدول مماسی فولاد در دماهای مختلف

دما	۲۰	۲۰۰	۴۰۰	۶۰۰	۱۶۰۰	$\sigma_y : \text{kg/cm}^2$
	۲۴۰۰	۲۱۰۰	۱۰۰۰	۱۰	۰/۱	
	۵۰۰۰	۲۴۰۰۰	۱۲۶۰۰	۲۰۰۰۰	۳۰۰	$E_T : \text{kg/cm}^2$

$$d\epsilon_{ij} = d\epsilon_{ij}^e + d\epsilon_{ij}^p + d\epsilon_{ij}^T \quad (10)$$

$$\epsilon_{ij}^e = \frac{1}{2G} S_{ij} + \frac{1}{9K} \delta_{ij} \sigma_{kk} \quad (11)$$

$$d\sigma_{ij} = dS_{ij} + \frac{1}{3} \delta_{ij} d\sigma_{kk} \quad (12)$$

$$d\sigma_{ij} = 2G(d\epsilon_{ij} + \frac{v}{1-v} \delta_{ij} d\epsilon_{kk} - d\epsilon_{ij}^p) - GS_{ij}d(\frac{1}{G}) - \quad (13)$$

$$K\delta_{ij}[\sigma_{ij} d(\frac{1}{2K}) + 2d\epsilon^T]$$

در کلیه‌ی فرمول‌های فوق  $K$  مدول حجمی، و در رابطه‌ی ۱۳ نیز  $\epsilon^T = \alpha T$  است. حال باید برای کرنش خمیری در رابطه‌ی ۱۳ چاره‌بی اندیشید. اگر مدل فون‌میسز را به همراه سختی پذیری سینماتیکی برای رفتار مصالح حوزه پذیریم، آنگاه:

$$d\epsilon_{ij}^p = d\lambda S_{ij} \quad (14)$$

$$f = \frac{1}{2}(S_{ij} - \beta_{ij})(S_{ij} - \beta_{ij}) - \frac{1}{3} \sigma_y^2 (\epsilon^p, T) = 0 \quad (15)$$

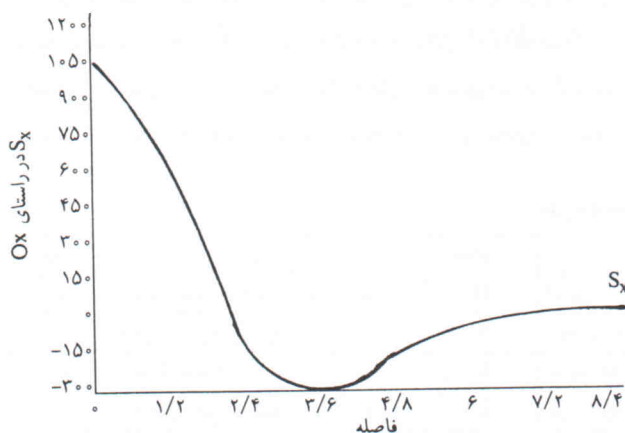
$$\beta_{ij} = \alpha_{ij} - \frac{1}{3} \delta_{ij} \alpha_{kk} \quad (16)$$

حال به شرط  $f = 0$  مقدار  $d\lambda$  به دست می‌آید و با جایگزینی آن در رابطه‌ی ۱۴ و سپس با جایگزینی در رابطه‌ی ۱۳، سرانجام رابطه‌ی تنش-کرنش خمیری-کشسانی به دست خواهد آمد.<sup>[۱۰]</sup> البته می‌توان رابطه‌ی تنش-کرنش را به ماتریس تبدیل کرد تا از آن طریق ماتریس  $[D^{ep}]$  مصالح حوزه‌ی منظور برای حل به روش اجزاء محدود به دست آید.

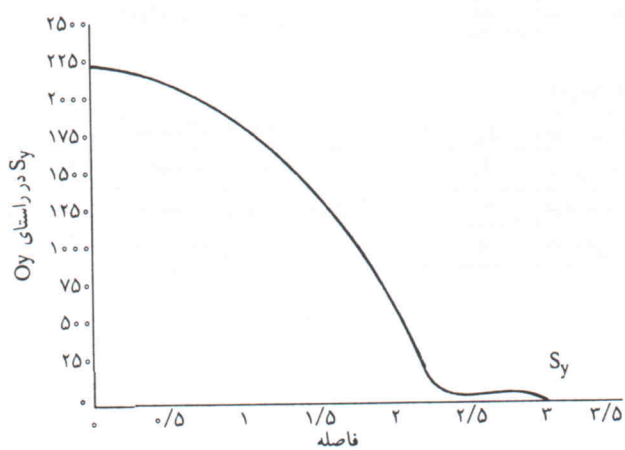
در بررسی به عمل آمده، محاسبه‌ی تنش‌های باقیمانده از طریق همان شبکه‌ی عنصر بنده انتقال حرارت صورت گرفته است و با توجه به مفهوم حوضچه‌ی مذاب معادل، مسئله به صورت دو بعدی و در حالت تنش مسطح تحلیل شده است.

تغییرات نسبت به دمای ضریب کشسانی و نسبت پواسون در جدول ۱ و اندازه‌ی تنش تسلیم و مدول مماسی در دماهای مختلف در جدول ۲ ارائه شده است. تغییرات این خواص مکانیکی در بین دماها به صورت خطی اند.

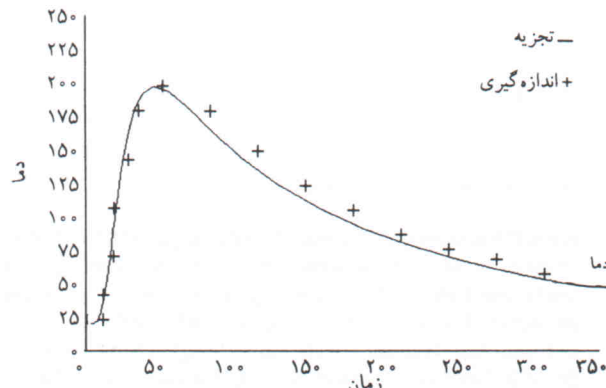
می‌گیرد. سپس با دور شدن الکترود، این گره شروع به انجماد و سرد شدن می‌کند (به مکان گرههای ۱، ۲، ۳ در شکل ۲ توجه کنید).



شکل ۸. تغییرات تنش باقیمانده‌ی  $S_x$  در راستای  $Ox$



شکل ۹. تغییرات تنش باقیمانده‌ی  $S_y$  در راستای  $Oy$



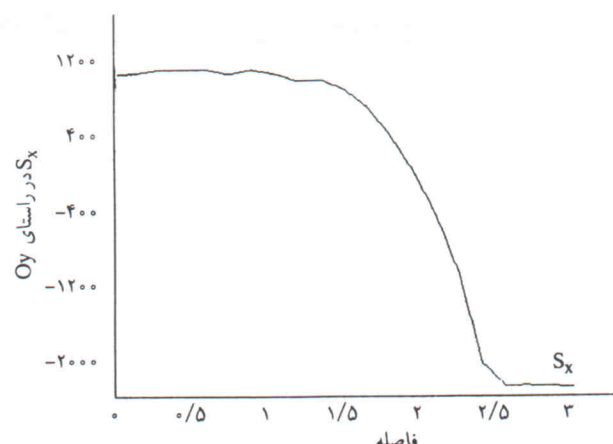
شکل ۱۰. دمای نقطه‌ی A در زمان‌های مختلف، در تجزیه و اندازه‌گیری

### نتیجه‌گیری

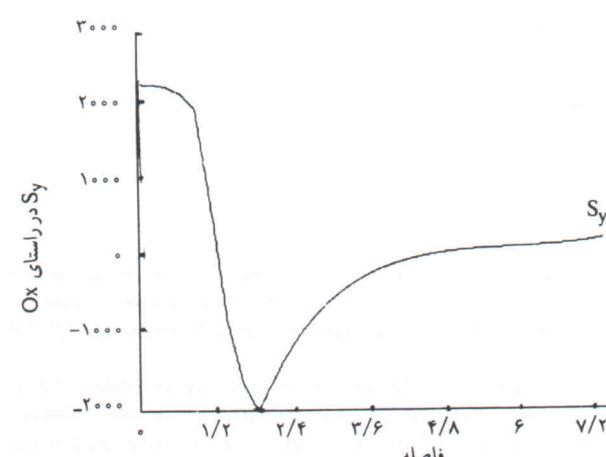
نتایج حاصل از تحلیل انتقال حرارت و تنش به خوبی با طرح دستی استاندارد دما و تنش‌های باقیمانده مطابقت دارد. اما از آنجاکه تنش‌های باقیمانده از جوشکاری بهشدت تحت تأثیر تابع دما-زمان کل نقاط حوزه‌اند، برای ارزیابی نتایج تحلیل انتقال حرارت با مدل حرارتی و محاسباتی ارائه شده در این نوشتار، دمای

### تنش‌های باقیمانده

با توجه به شیب بالای دمای زمان‌های اولیه و نیز حرکت حوضچه‌ی مذاب، تنش‌های ایجادشده مجموعاً در ۳۸ قسمت حل شده‌اند که ۲۰ قسمت آن به صورت پله‌بی و مابقی به صورت خطی است. رشد زمانی در هر مرحله، عبارت است از اختلاف زمان بین آن مرحله و مرحله‌ی قبلی. شکل‌های ۶ و ۷ توزیع تنش‌های باقیمانده‌ی  $S_x$  و  $S_y$  را به ترتیب در راستای خط جوش  $Oy$  و عمود بر خط جوش  $Ox$  نشان می‌دهند. همچنین شکل‌های ۸ و ۹ تغییرات تنش‌های باقیمانده‌ی  $S_x$  و  $S_y$  را به ترتیب در راستای  $Ox$  و  $Oy$  نشان می‌دهند. مشاهده می‌شود که تنش‌های باقیمانده‌ی تولید شده نزدیک حد تنش تسليیم در دمای معمولی فولادند.



شکل ۶. توزیع تنش باقیمانده‌ی  $S_x$  در راستای خط جوش  $Oy$



شکل ۷. توزیع تنش باقیمانده‌ی  $S_y$  در راستای عمود بر خط جوش  $Ox$

حرارت و آزمایش، و مطابقت آنها را نشان می‌دهد. یکی از علل اختلاف دمای در دوره‌ی سردشدن نقطه‌ی موردنظر را می‌توان ناشی از تفاوت ضریب جابه‌جایی واقعی با مقدار مفروض در تجزیه انتخاب شد. شکل ۱۰ مقایسه‌ی بین نتایج حاصل از تحلیل انتقال دانست.

نمونه‌ی مشابهی از کارخانه‌ی شرکت مهندسی و ماشین‌سازی ایران توسط ترموموکوپل اندازه‌گیری شد. با توجه به شکل ۱، نقطه‌ی A در فاصله‌ی ۳۰ میلی‌متر روی محور OX به عنوان نقطه‌ی اندازه‌گیری انتخاب شد. شکل ۱۰ مقایسه‌ی بین نتایج حاصل از تحلیل انتقال

#### فهرست علامت انگلیسی

توضیح	علامت	توضیح	علامت	توضیح	علامت
شار حرارتی	q	انتالپی	H	سطح مقطع هوپچه مذاب معادل	A
آهنگ حرارت تولیدی	Q	ضخامت ورق	h	ظرفیت گرمایی ویژه	C
دما	T	ضریب هدایت حرارتی	K	مدول کشسانی	E
دماهی محیط	$T_0$	گرمای نهان	L	عرض مقطع هوپچه مذاب معادل	e
زمان	t	بردار عمود بر مرز	n	تابع تسلیم	f
سرعت الکترود	v	توان حرارتی	P	مدول برشی	G
		ضریب تناسب	dλ	مؤلفه‌ی تنش انحرافی	$S_{ij}$

#### فهرست علامت یونانی

نسبت پواسون	$\nu$	مؤلفه‌ی انحرافی مرکز سطح تسلیم	$\beta_{ij}$	ضریب انبساط حرارتی	$\alpha$
چگالی	$\rho$	دلتای کرونگر	$\delta_{ij}$	مؤلفه‌ی مرکز سطح تسلیم	$\alpha_{ij}$
مؤلفه‌ی تنش	$\sigma_{ij}$	مؤلفه‌ی کرنش	$\epsilon_{ij}$	ضریب جابه‌جایی یا انتقال گرما	$\beta_1$
تنش تسلیم	$\sigma_y$	بازده قوس الکتریکی	$\eta$	ضریب تابش	$\beta_2$

#### پانوشت‌ها

1. elastoplastic
2. butt welding
3. isotropic
4. bead
5. mild steel

#### منابع

1. Lemmon, E.C. "Phase change techniques for finite element conduction code". *Numerical Methods for Thermal Problems*, Ed. Lewis, K. Morgan, Pineridge Press, Swansea, pp. 149-158 (1979).
2. Lemmon, E.C. "Multidimensional integral phase change approximations for finite element conduction code", *Numerical Methods for Thermal Problems*, Ed. W. Lewis, K. Morgan, Wiely, CHichester, pp. 201-213 (1981).
3. Andersson, B., and Karlsson, L., "Thermal stresses in large

- butt-welded plates", *J. Thermal Stresses*, **4**, pp. 491-500 (1981).
4. Naghdi, P.M., "Stress-strain relations in plasticity and thermoplasticity", *Proc 2th Symp.on Naval Structural Mechanics*, Pergamon, Oxford, pp. 121-167 (1960).
  5. Karlsson, L., "Thermal stresses in welding", *Thermal Stresses*, Ed. R.B. Hetnarski, Elsevier Science Publishers B.V. (1986).
  6. Andersson, B., "Thermal stresses in a submerged-arc-welded joint considering phase transformation", *J. Eng. Mater. Technol. (ASME)*, **100**, pp. 356-362 (1987).
  7. Jonsson, M., Karlsson, L., and Lingren, L.E., "Thermal stresses and plate motion in butt-welding", *3th int. Conf. on Numerical Methods in Thermal Problems*, Pineridge Press (1983).
  8. Park, J.S., and Na, S.J., "Heat transfor in a stud-to-plate laser braze considering filler metal movement", *Welding Journal*, **4**, (1998).
  9. ANSYS Thermal Analysis Guide, Chapter 3, 2th edition. SAS.IP, INC (1997).
  10. Masubuchi, K., *Analysis of Welded Structures*, Pergamon, Oxford (1980).